

荧光及化学发光成像系统



产品亮点

- 用传统的方法进行Western Blot实验时，最后需要使用暗室来进行ECL检测。不但建造暗室浪费空间，而且在暗室中曝光步骤繁琐，冲洗X光胶片时还会接触有毒的化学试剂。ChemiScope系列成像系统搭载高灵敏度检测系统、配合直观的操作界面和友好的人机交互体验，摆脱暗室，让化学发光显影变得轻松简单。

产品应用

化学发光检测

基于ECL、ECL PLUS等的化学发光样品的检测，比如Western Blot, Northern Blot, Southern Blot等实验相关的印迹膜等。

生物发光检测

荧光素酶报告基因检测等。

蛋白检测

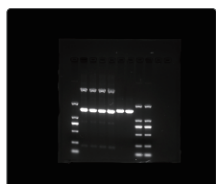
考马斯亮蓝染色和银染蛋白胶。

核酸检测

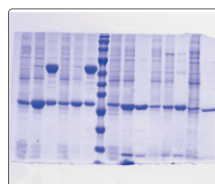
各种核酸染料，如Ethidium Bromide, Gel Signal Red, Gel Signal Green, SYBR Gold, SYBR Green, SYBR Safe, Gel Star等标记的DNA/RNA检测。

荧光检测

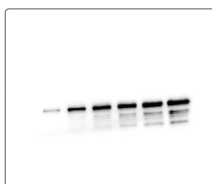
FAM、Cy2、Cy3、Cy5、GFP等荧光染料和荧光蛋白检测。



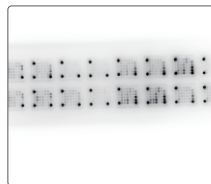
01.
核酸胶



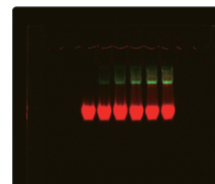
02.
考染蛋白胶



03.
Western Blot化学发光



04.
蛋白芯片



05.
FAM-Cy5荧光



产品特点

- 相机镜头** 高灵敏度制冷CCD相机和大光圈镜头搭配，捕捉低丰度条带的微弱发光信号。
- 紫外透照台:** 302nm紫外灯管，无灯影设计，去除灯管灯影干扰，成像和切胶时提供干净背景，配置专业切胶防护装置。
- 蓝光透照台** 顶针磁吸式超薄LED蓝光透照台，470nm LED冷光源，蓝光板上可以触摸调节光强，钢化玻璃表面，防腐蚀防刮擦，用于DNA/RNA凝胶蓝光下检测。
- 白光透照台** 顶针磁吸式超薄LED白光透照台，LED冷光源，白光板上可以触摸调节光强，钢化玻璃表面，防腐蚀防刮擦，用于考染和银染的蛋白胶。
- 荧光模块** 搭载8位电动滤镜轮，可配置多种波长滤光片，实现多色荧光成像。
- 模块化设计** 具有多种配置和模块可供选择，满足您多应用需求，并支持后期升级。
- 操控方式** 触摸屏 / 外接电脑一键切换方案，满足不同使用人员操作习惯。

ChemiScope图像采集分析软件 软件特色

软件介绍

- 01 软件主要具有图像采集、图像分析、审计追踪等功能模块，提供账户多级管理系统，便于仪器的使用管理。
- 02 软件操作简便快捷，集相机自动控制、图像采集、光源控制、镜头调整多功能于一体，适于化学发光、荧光、蛋白胶与核酸胶的成像与分析。
- 03 ChemiScope图像采集分析软件系我公司自主设计开发，并取得软件相关知识产权。



图像采集

- 01 精准自动曝光模式，一键拍摄，自动保存。
- 02 具有1-99帧图像灰度累积，时间累积，自定义时间序列拍摄功能。
- 03 具有自动拍摄Marker图像以及将Marker图像与化学发光图像自动叠加功能。
- 04 具有超高分辨率和超高灵敏度等曝光模式可选。
- 05 图像的旋转、裁剪、反色、伪彩添加等图像优化处理功能。
- 06 拍摄完成可直接将图像，用户信息，拍摄信息等输出为PDF格式的报告。
- 07 可以批量导出TIFF，JPG等格式图像。



上海勤翔科学仪器有限公司
上海市宝山区淞兴西路258号5C-102

电话:+86 21 6533 2202
传真:+86 21 6679 0200

邮箱: info@clinx.cn
网址: www.clinx.cn

图像分析

- 01 自动识别泳道和条带，可根据需要添加、删除、调整泳道，实现泳道的精确分离。
- 02 自动计算泳道中各条带的光密度积分值和峰形图，方便计算各条带分子量大小。
- 03 对指定区域进行光密度计算，适用于蛋白定量分析。
- 04 自动去除背景模式，以获取准确优化的图像分析数据。
- 05 分析结果可根据选择范围输出至 Excel 文件。



审计追踪

软件可提供账户分级管理及图像信息追踪系统。根据不同角色的使用者，设置不同权限的账户，通过账户密码方可登录，方便仪器的使用管理。软件具有对图像采集及分析操作过程中的电子签名功能和图像操作记录追踪功能，可输出包含账户信息、图像原始信息和附有电子签名的PDF报告。

规格与型号

参数规范	ChemiScope 6100	ChemiScope 6100Touch	ChemiScope 6200	ChemiScope 6200Touch
像素	600万像素 2688*2200			
像素合并	1*1 2*2 3*3 4*4 共四档可选，对应不同分辨率和灵敏度要求			
相机制冷	-25°C		-30°C	
镜头	F/0.95大光圈高通透 电动可预置镜头，能够自动聚焦		F/0.8大光圈高通透 电动可预置镜头，能够自动聚焦	
触屏	/	嵌入式10.1英寸工业平板电脑	/	嵌入式10.1英寸工业平板电脑
化学发光拍摄软件	ChemiScope Capture 图像采集软件			
化学发光分析软件	ChemiScope Analysis 图像分析软件			
紫外透照台 (选配)	标配波长: 302nm, 选配254nm, 365nm 透射面积: 21cm*26cm			
蓝光透照台 (选配)	波长: 470nm 透射面积: 19cm*26cm			
白光透照台 (选配)	透射面积: 19cm*26cm			
LED反射荧光光源 (选配)	365nm, 470nm, 530nm, 630nm, 660nm, 730nm			
发射光滤光片 (选配)	460nm, 525nm, 585nm, 590nm, 690nm, 715nm, 810nm			
最大拍摄面积	15cm*18cm		16cm*19cm	
电源输入	220V AC, 50/60Hz			
功率	≤100W	≤150W	≤100W	≤150W
整机尺寸	43.5cm*39.5cm*70cm			



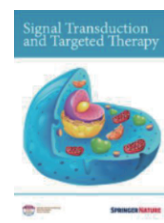
上海勤翔科学仪器有限公司
上海市宝山区淞兴西路258号5C-102

电话:+86 21 6533 2202
传真:+86 21 6679 0200

邮箱: info@clinx.cn
网址: www.clinx.cn

标注使用勤翔产品的部分文献

- A vaccine targeting the RBD of the S protein of SARS-CoV-2 induces protective immunity, *Nature*, 2020
- Teosinte ligule allele narrows plant architecture and enhances high-density maize yields, *Science*, 2019
- Pore architecture of TRIC channels and insights into their gating mechanism, *Nature*, 2016
- YAP drives fate conversion and chemoresistance of small cell lung cancer, *Science Advances*, 2021, 7(40): eabg1850 13.117
- Co-delivery of IOX1 and doxorubicin for antibody-independent cancer chemo-immunotherapy, *Nature communications*, 2021, 12(1): 1-17. 12.353
- NEK2 inhibition triggers anti-pancreatic cancer immunity by targeting PD-L1, *Nature communications*, 2021, 12(1): 1-17. 12.353
- Heterogeneous Responses to Mechanical Force of Prostate Cancer Cells Inducing Different Metastasis Patterns, *Advanced Science*, 2020
- Cell-type-dependent histone demethylase specificity promotes meiotic chromosome condensation in Arabidopsis, *Nature plants*, 2020
- Engineering a far-red light-activated split-Cas9 system for remote-controlled genome editing of internal organs and tumors, *Science Advances*, 2020
- OsChz1 acts as a histone chaperone in modulating chromatin organization and genome function in rice, *Nature Communications*, 2020
- A single dose of an adenovirus-vectored vaccine provides protection against SARS-CoV-2 challenge, *Nature communications*, 2020
- TssA-TssM-TagA interaction modulates type VI secretion system sheath-tube assembly in *Vibrio cholerae*, *Nature Communications*, 2020
- A non-invasive far-red light-induced split-Cre recombinase system for controllable genome engineering in mice, *Nature Communications*, 2020
- Brain-targeted Drug Delivery by Manipulating Protein Corona Functions, *Nature communications*, 2019
- BES1 is activated by EMS1-TPD1-SERK1/2-mediated signaling to control tapetum development in *Arabidopsis thaliana*, *Nature communications*, 2019
- CD146-HIF-1 α hypoxic reprogramming drives vascular remodeling and pulmonary arterial hypertension, *Nature communications*, 2019
- The disease resistance protein SNC1 represses the biogenesis of microRNAs and phased siRNAs, *Nature communications*, 2018
- Activity dependent LoNA regulates translation by coordinating rRNA transcription and methylation, *Nature communications*, 2018
- Near-Infrared Light-Controlled and Real-Time Detection of Osteogenic Differentiation in Mesenchymal Stem Cells by Upconversion Nanoparticles for Osteoporosis Therapy, *ACS NANO*, 2022.05.15
- Near-Infrared Light-Controlled Activation of Adhesive Peptides Regulates Cell Adhesion and Multidifferentiation in Mesenchymal Stem Cells on an Up-Conversion Substrate, *Nano Letters*, 2022.03
- Generation and characterization of stable pig pregastrulation epiblast stem cell lines, *Cell Research*, 2021: 1-18 25.6.
- Fluorescent on-site detection of multiple pathogens using smartphone-based portable device with paper-based isothermal amplification chip, *Microchimica Acta* volume, 2022.8.16



上海勤翔科学仪器有限公司
上海市宝山区淞兴西路258号5C-102

电话:+86 21 6533 2202
传真:+86 21 6679 0200

邮箱: info@clinx.cn
网址: www.clinx.cn